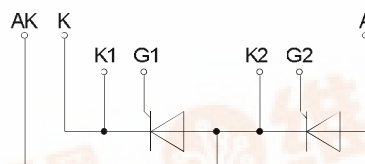
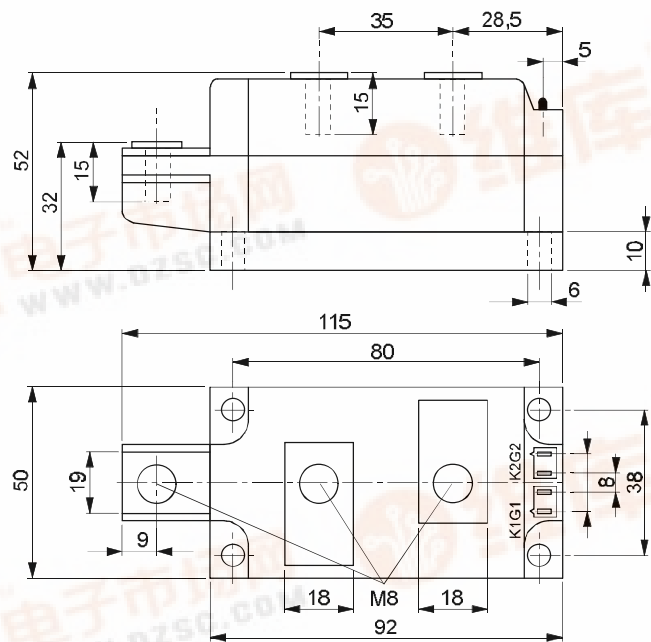




European Power-Semiconductor and Electronics Company

Marketing Information TT 200 F



TT 200 F, TD 200 F, DT 200 F

Elektrische Eigenschaften		Electrical properties				
Höchstzulässige Werte		Maximum rated values				
Periodische Vorwärts- und Rückwärts-Spitzenspannung		repetitive peak forward off-state and $t_{vj} = -40^\circ\text{C} \dots t_{vj \max}$ reverse voltages	V_{DRM}, V_{RRM}	800 1000 1100 1200		V
Vorwärts-Stoßspitzenspannung		non-repetitive peak forward off-state $t_{vj} = -40^\circ\text{C} \dots t_{vj \max}$ voltage	$V_{DSM} = V_{DRM}$	1300		
Rückwärts-Stoßspitzenspannung		non-repetitive peak reverse voltage $t_{vj} = +25^\circ\text{C} \dots t_{vj \max}$	$V_{RSM} = V_{RRM}$	+ 100		V
Durchlaßstrom-Grenzeffektivwert		RMS on-state current	I_{TRMSM}	410		A
Dauergrenzstrom		average on-state current	I_{TAVM}	200		A
		$t_c = 85^\circ\text{C}$		261		A
		$t_c = 68^\circ\text{C}$				
Stoßstrom-Grenzwert		surge current	I_{TSM}	7200		A
		$t_{vj} = 25^\circ\text{C}, t_p = 10 \text{ ms}$		6400		A
Grenzlastintegral		$\int I^2 t \text{-value}$	$t_{vi} = t_{vj \max}, t_p = 10 \text{ ms}$	260000		A^2s
			$t_{vi} = t_{vj \ max}, t_p = 10 \text{ ms}$	205000		A^2s
Kritische Stromsteilheit		critical rate of rise of on-state current	$V_D \leq 67\% V_{DRM}, f_0 = 50\text{Hz}$	(dI_T/dt) _{cr}	200	$\text{A}/\mu\text{s}$
Kritische Spannungssteilheit		critical rate of rise of off-state voltage	$t_{vj} = t_{vj \ max}, V_D = 67\% V_{DRM}$	$(dv_D/dt)_{cr}$		
			6.Kennbuchstabe/6th letter B	50 50		$\text{V}/\mu\text{s}$
			6.Kennbuchstabe/6th letter C	500 500		$\text{V}/\mu\text{s}$
			6.Kennbuchstabe/6th letter L	500 50		$\text{V}/\mu\text{s}$
			6.Kennbuchstabe/6th letter M	1000 500		$\text{V}/\mu\text{s}$
Charakteristische Werte		Characteristic values				
Durchlaßspannung		on-state voltage	$t_{vj} = t_{vj \ max}, i_T = 700 \text{ A}$	V_T	max. 1,8	V
Schleusenspannung		threshold voltage	$t_{vj} = t_{vj \ max}$	$V_{T(TO)}$	1,2	V
Ersatzwiderstand		slope resistance	$t_{vi} = t_{vj \ max}$	r_T	0,75	$\text{m}\Omega$
Zündstrom		gate trigger current	$t_{vi} = 25^\circ\text{C}, V_D = 6 \text{ V}$	I_{GT}	max. 250	mA
Zündspannung		gate trigger voltage	$t_{vi} = 25^\circ\text{C}, V_D = 6 \text{ V}$	V_{GT}	max. 2,2	V
Nicht zündender Steuerstrom		gate non-trigger current	$t_{vi} = t_{vj \ max}, V_D = 6 \text{ V}$	I_{GD}	max. 10	mA
Nicht zündende Steuerspannung		gate non-trigger voltage	$t_{vi} = t_{vj \ max}, V_D = 0,5 V_{DRM}$	V_{GD}	max. 0,2	V
Haltestrom		holding current	$t_{vi} = 25^\circ\text{C}, V_D = 6 \text{ V}, R_A = 10 \Omega$	I_H	max. 250	mA
Einraststrom		latching current	$t_{vi} = 25^\circ\text{C}, V_D = 6 \text{ V}, R_{GK} > 20 \Omega$	I_L	max. 1	A
Vorwärts- und Rückwärts-Sperrstrom		forward off-state and reverse currents	$i_{GM} = 1 \text{ A}, dI_G/dt = 1 \text{ A}/\mu\text{s}, t_q = 10 \text{ }\mu\text{s}$ $t_{vj} = t_{vj \ max}$ $V_D = V_{DRM}, V_R = V_{RRM}$	i_D, i_R	max. 50	mA
Zündverzug		gate controlled delay time	$t_{vj} = 25^\circ\text{C}, i_{GM} = 1 \text{ A}, dI_G/dt = 1 \text{ A}/\mu\text{s}$	t_{gd}	max. 1,2	μs
Freiwerdezeit		circuit commutated turn-off time	siehe techn. Erl./see Techn. Inf.	$t_{q: S:}$ $E:$ $F:$	max. 18 max. 20 max. 25	μs
Isolations-Prüfspannung		insulation test voltage	RMS, $f = 50 \text{ Hz}, 1 \text{ min.}$	V_{ISOL}	3	kV
Thermische Eigenschaften		Thermal properties				
Innerer Wärmewiderstand		thermal resistance, junction to case	$\Theta = 180^\circ\text{el. sin: pro Modul/per module}$ pro Zweig/per arm DC: pro Modul/per module pro Zweig/per arm pro Modul/per module pro Zweig/per arm	R_{thJC} R_{thCK}	max. 0,065 max. 0,13 max. 0,062 max. 0,124 max. 0,02 max. 0,04	$^\circ\text{C/W}$
Übergangs-Wärmewiderstand		thermal resistance, case to heatsink				
Höchstzul. Sperrsichttemperatur		max. junction temperature			125	$^\circ\text{C}$
Betriebstemperatur		operating temperature			-40...+125	$^\circ\text{C}$
Lagertemperatur		storage temperature			-40...+130	$^\circ\text{C}$
Mechanische Eigenschaften		Mechanical properties				
Si-Elemente mit Druckkontakt		Si-pellet with pressure contact				
Innere Isolation		internal insulation				AIN
Anzugsdrehmomente		tightening torques				
mechanische Befestigung		mounting torque	Toleranz/tolerance +/- 15%	M1	6	Nm
elektrische Anschlüsse		terminal connection torque	Toleranz/tolerance +5%/-10%	M2	12	Nm
Gewicht		weight		G	typ. 800	g
Kriechstrecke		creepage distance			17	mm
Schwingfestigkeit		vibration resistance	$f = 50 \text{ Hz}$		5 · 9,81	m/s^2
Maßbild		outline				8

¹⁾ Werte nach DIN 41787 (ohne vorausgehende Kommutierung) / Values according to DIN 41787 (without prior commutation)

²⁾ Unmittelbar nach der Freiwerdezeit. / Immediately after turn-off time.

Daten der Dioden siehe unter DD 242 S bei $V_{RRM} \leq 1000 \text{ V}$ und DD 241 S bei $V_{RRM} \geq 1200 \text{ V}$

For data of the diode refer to DD 242 S at $V_{RRM} \leq 1000 \text{ V}$ and DD 241 S at $V_{RRM} \geq 1200 \text{ V}$

TT 200 F, TD 200 F, DT 200 F können auch mit gemeinsamer Anode oder gemeinsamer Kathode geliefert werden.

TT 200 F, TD 200 F, DT 200 F can also be supplied with common anode or common cathode.

TT 200 F

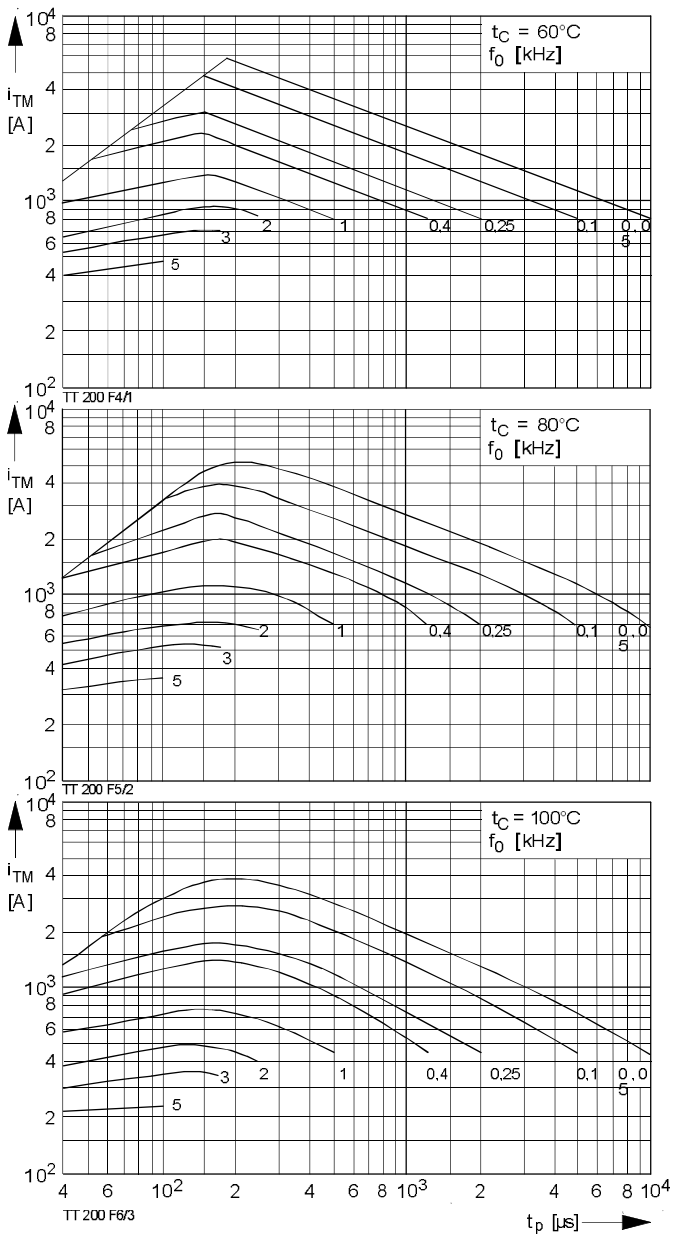


Bild / Fig. 1, 2, 3

Höchstzulässige Strombelastbarkeit in Abhängigkeit von der Halbschwingungsdauer für einen Zweig bei: sinusförmigem Stromverlauf, der angegebenen Gehäusetemperatur t_C , Vorwärts-Sperrspannung $V_{DM} \leq 0.67 V_{DRM}$; Freiwerdezeit t_q gemäß 5. Kennbuchstaben, Spannungssteilheit dv/dt gemäß 6. Kennbuchstaben.

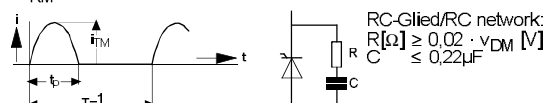
Ausschaltverlustleistung:

- Berücksichtigt für den Betrieb bei $f_0 = 50 \text{ Hz} \dots 0,4 \text{ kHz}$ für $dv_R/dt \leq 500 \text{ V}/\mu\text{s}$ und Anstieg auf $v_{RM} \leq 0,67 V_{RRM}$;
- nicht Berücksichtigt für Betrieb bei $f_0 \geq 1 \text{ kHz}$. Diese Kurven gelten jedoch für den Betrieb mit antiparalleler Diode oder $dv_R/dt \leq 100 \text{ V}/\mu\text{s}$ und Anstieg auf $V_{RM} \leq 50 \text{ V}$.

Maximum allowable current load versus halfwave duration per arm at: sinusoidal current waveform, given case temperature t_C , forward off-state voltage $V_{DM} \leq 0.67 V_{DRM}$, circuit commutated turn-off time t_q according to 5th code letter, rate of rise of voltage dv/dt according to 6th code letter.

Turn-on losses:

- taken into account for operation at $f_0 = 50 \text{ Hz}$ to 0.4 kHz for $dv_R/dt \leq 500 \text{ V}/\mu\text{s}$ and rise up to $v_{RM} \leq 0.67 V_{RRM}$;
- not taken into account for operation at $f_0 \geq 1 \text{ kHz}$. But the curves are valid for operation with inverse paralleled diode or $dv_R/dt \leq 100 \text{ V}/\mu\text{s}$ and rise up to $V_{RM} \leq 50 \text{ V}$.



Parameter: Wiederholfrequenz f_0 [kHz] Steuergenerator/Pulse generator:
Repetition rate f_0 [kHz] $i_G = 1 \text{ A}$, $t_a = 1 \mu\text{s}$

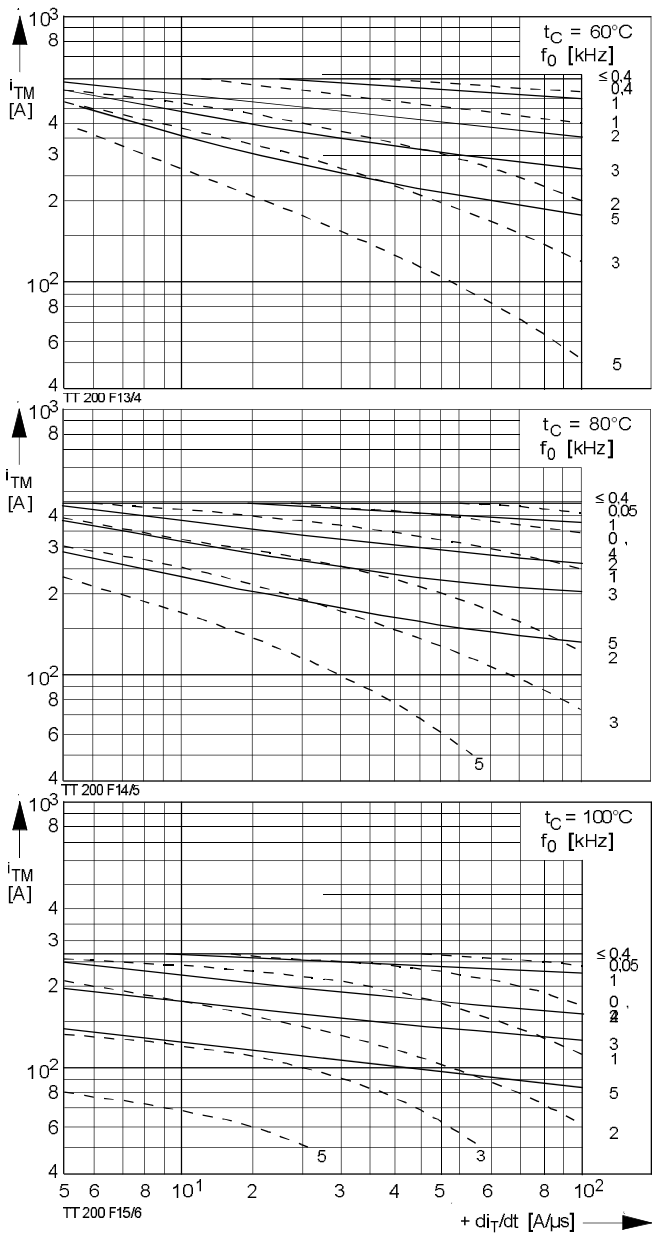


Bild / Fig. 4, 5, 6

Höchstzulässige Strombelastbarkeit in Abhängigkeit von der Stromsteilheit für einen Zweig bei: trapezförmigem Stromverlauf, der angegebenen Gehäusetemperatur t_C , Vorwärts-Sperrspannung $V_{DM} \leq 0.67 V_{DRM}$, Freiwerdezeit t_q gemäß 5. Kennbuchstabe, Spannungssteilheit dv/dt gemäß 6. Kennbuchstabe.

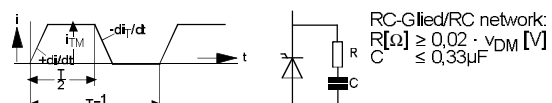
Ausschaltverlustleistung berücksichtigt; die Kurven gelten für:

- Betrieb mit antiparalleler Diode oder $dv_R/dt \leq 100 \text{ V}/\mu\text{s}$ bei Anstieg auf $v_{RM} \leq 50 \text{ V}$.
- - - $dv_R/dt \leq 600 \text{ V}/\mu\text{s}$ und Anstieg auf $v_{RM} = 0.67 V_{RRM}$.

Maximum allowable current load versus of current per arm at: trapezoidal current waveform, given case temperature t_C , forward off-state voltage $V_{DM} \leq 0.67 V_{DRM}$, circuit commutated turn-off time t_q according to 5th code letter, rate of rise of voltage dv/dt according to 6th code letter.

Turn-off losses taken into account; the curves apply for:

- Operation with inverse paralleled diod or $dv_R/dt \leq 100 \text{ V}/\mu\text{s}$ rising up to $v_{RM} \leq 50 \text{ V}$.
- - - $dv_R/dt \leq 600 \text{ V}/\mu\text{s}$ rising up to $v_{RM} = 0.67 V_{RRM}$.



Parameter: Wiederholfrequenz f_0 [kHz] Steuergenerator/Pulse generator:
Repetition rate f_0 [kHz] $i_G = 1 \text{ A}$, $t_a = 1 \mu\text{s}$

TT 200 F

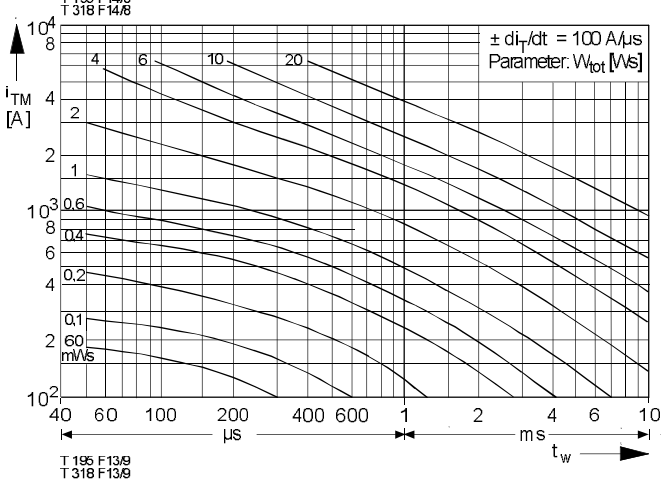
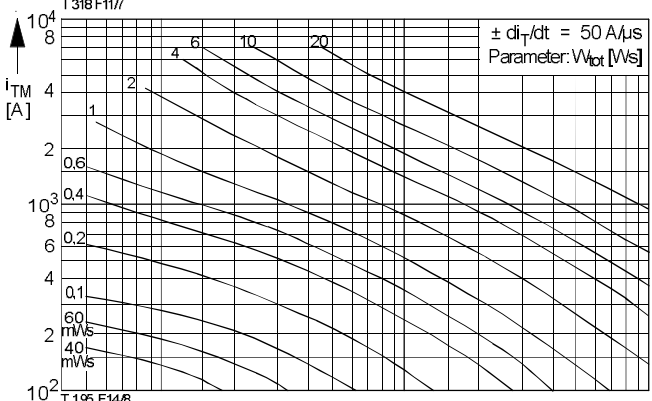
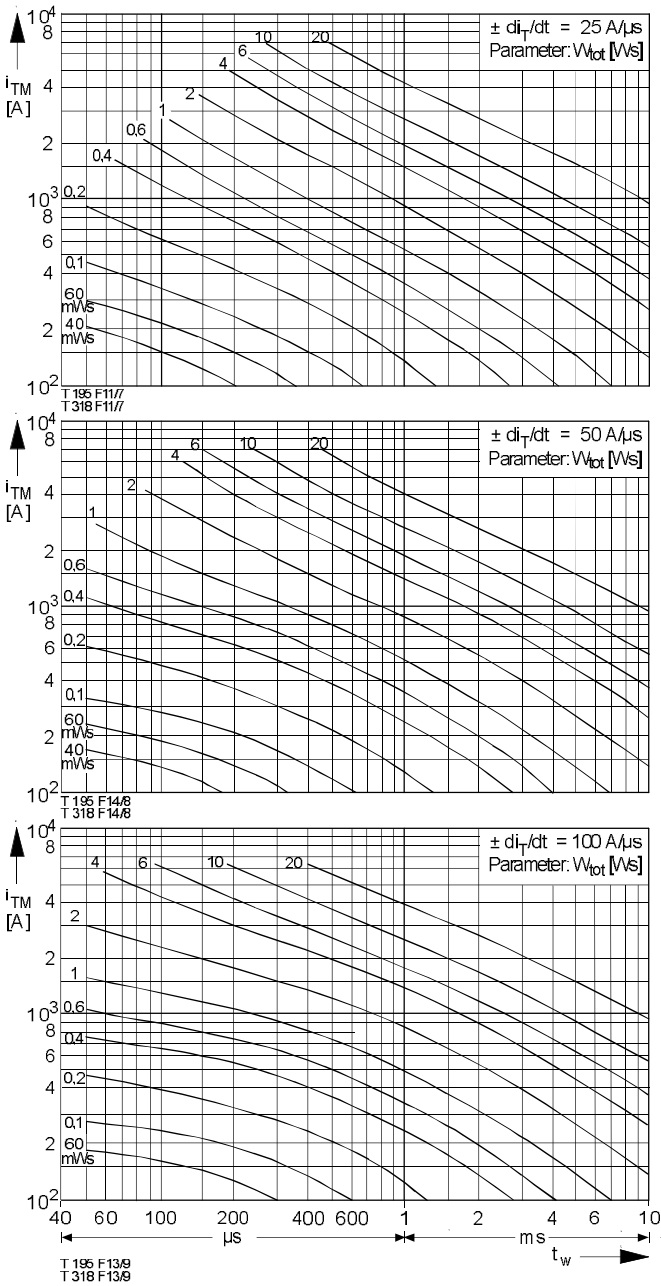


Bild / Fig. 7, 8, 9
Diagramme zur Ermittlung der Gesamtenergie W_{tot} für einen trapezförmigen Durchlaß-Strompuls, für einen Zweig bei:
der angegebenen Stromsteilheit di_T/dt ,
Vorwärts-Sperrenspannung $v_{DM} \leq 0,67 V_{DRM}$,
Rückwärts-Sperrenspannung $v_{RM} \leq 50 V$,
Spannungssteilheit $dv_R/dt \leq 100 V/\mu\text{s}$.

Diagram for the determination of the total energy W_{tot} for a trapezoidal current pulse for one arm at:
given rate of rise of on-state current di_T/dt ,
forward off-state voltage $v_{DM} \leq 0,67 V_{DRM}$,
maximum reverse voltage $v_{RM} \leq 50 V$,
rate of rise of off-state voltage $dv_R/dt \leq 100 V/\mu\text{s}$.

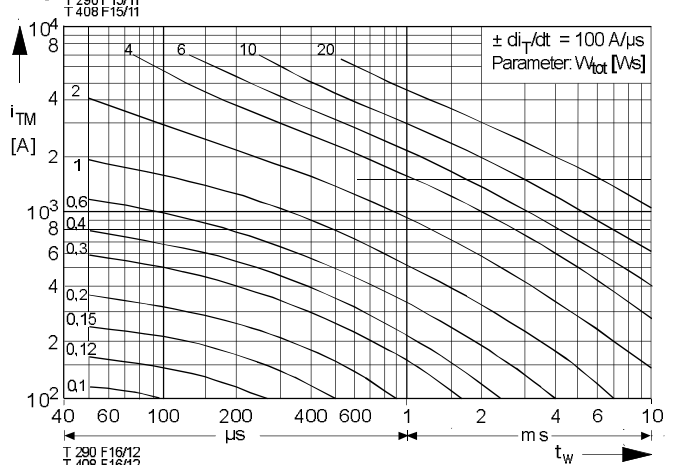
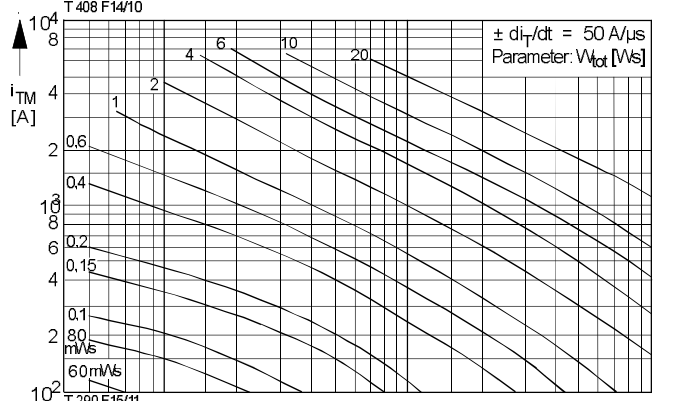
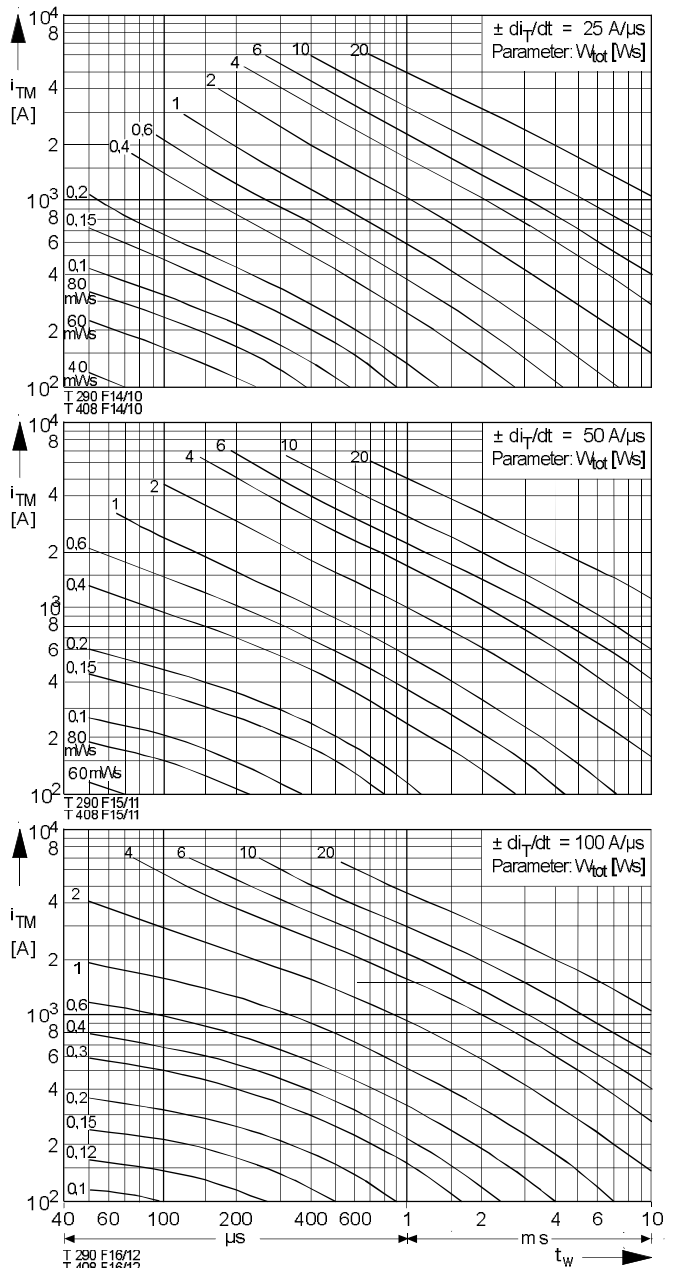
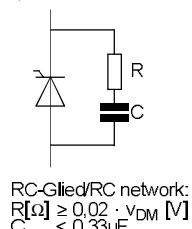
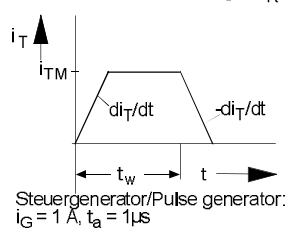
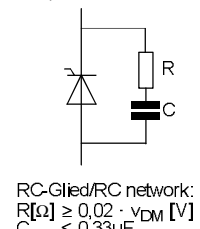
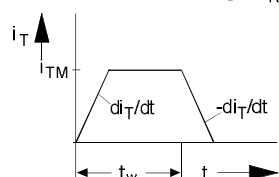
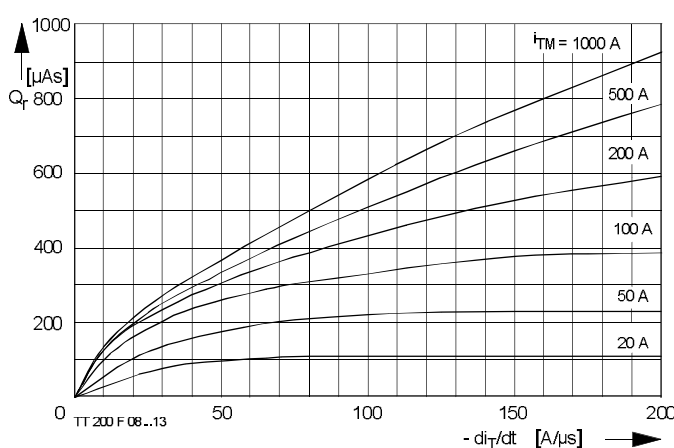
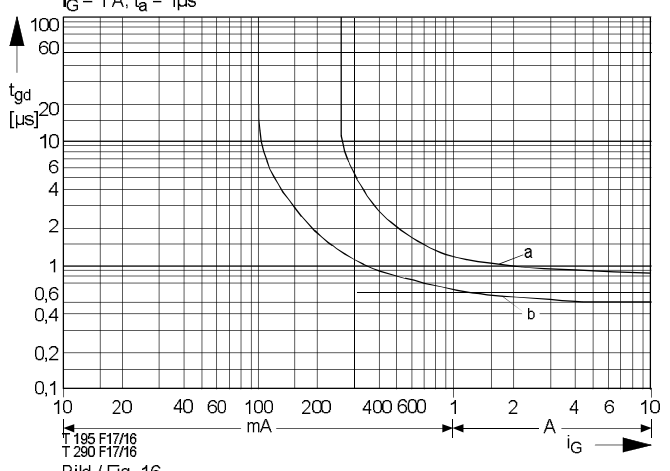
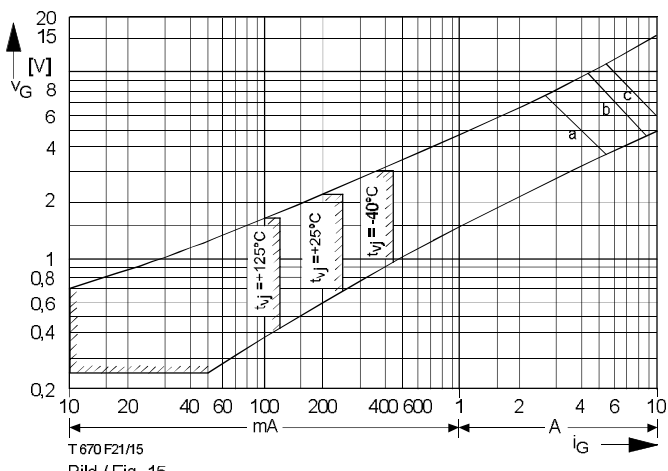
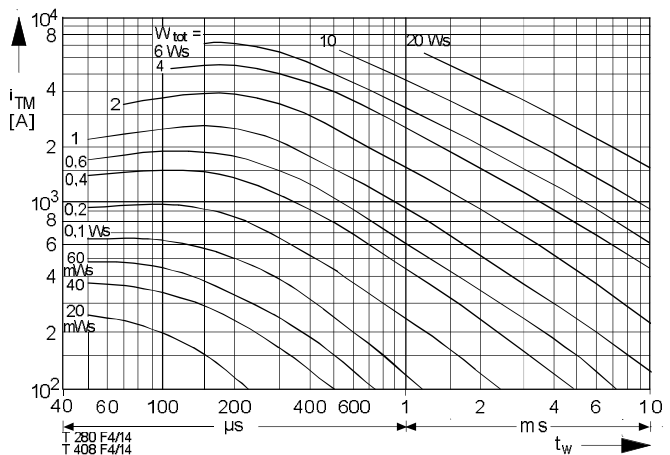
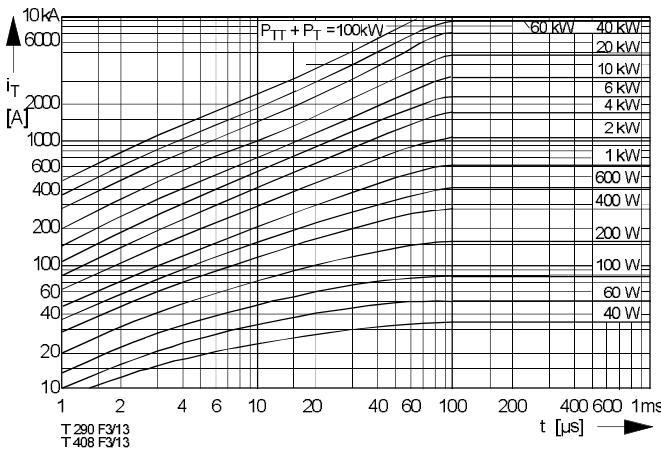


Bild / Fig. 10, 11, 12
Diagramme zur Ermittlung der Gesamtenergie W_{tot} für einen trapezförmigen Durchlaß-Strompuls, für einen Zweig bei:
der angegebenen Stromsteilheit di_T/dt ,
Vorwärts-Sperrenspannung $v_{DM} \leq 0,67 V_{DRM}$,
Rückwärts-Sperrenspannung $v_{RM} \leq 0,67 V_{RRM}$,
Spannungssteilheit $dv_R/dt \leq 600 V/\mu\text{s}$.

Diagram for the determination of the total energy W_{tot} for a trapezoidal current pulse for one arm at:
given rate of rise of on-state current di_T/dt ,
forward off-state voltage $v_{DM} \leq 0,67 V_{DRM}$,
maximum reverse voltage $v_{RM} \leq 0,67 V_{RRM}$,
rate of rise of off-state voltage $dv_R/dt \leq 600 V/\mu\text{s}$.



TT 200 F



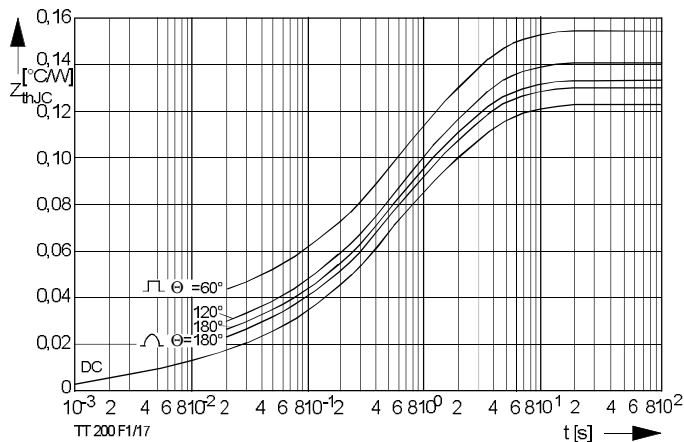


Bild / Fig. 18
Transienter innerer Wärmewiderstand je Zweig Z_{thJC} ,
Transient thermal impedance per arm $Z_{(th)JC}$, junction to case.

Analytische Elemente des transienten Wärmewiderstandes Z_{thJC} pro Zweig für DC
Analytical elements of transient thermal impedance Z_{thJC} per arm for DC

Pos. n	1	2	3	4	5	6	7
R_{thn} [$^{\circ}\text{C}/\text{W}$]	0,0031	0,0097	0,0257	0,0429	0,0426		
τ_n [s]	0,0009	0,008	0,11	0,61	3,06		

Analytische Funktion / Analytical function:

$$Z_{thJC} = \sum_{n=1}^{n_{max}} R_{thn} (1 - e^{-\frac{t}{\tau_n}})$$

Terms & Conditions of Usage

Attention

The present product data is exclusively subscribed to technically experienced staff. This Data Sheet is describing the specification of the products for which a warranty is granted exclusively pursuant the terms and conditions of the supply agreement. There will be no guarantee of any kind for the product and its specifications. Changes to the Data Sheet are reserved.

You and your technical departments will have to evaluate the suitability of the product for the intended application and the completeness of the product data with respect to such application. Should you require product information in excess of the data given in the Data Sheet, please contact your local Sales Office via "www.eupec.com / sales & contact".

Warning

Due to technical requirements the products may contain dangerous substances. For information on the types in question please contact your local Sales Office via "www.eupec.com / sales & contact".